

Санкт-Петербургский политехнический университет  
Петра Великого  
Институт прикладной математики и механики  
Кафедра «Прикладная математика»

Отчёт  
по курсовому проекту  
по дисциплине  
«Интервальный анализ»  
на тему  
«Интервальный метод отжига»

Выполнил студент:  
Величко Арсений Юрьевич

Проверил:  
к.ф.-м.н., доцент  
Баженов Александр Николаевич

Санкт-Петербург  
2022 г.

# Содержание

<b>1</b>	<b>Постановка задачи</b>	<b>3</b>
<b>2</b>	<b>Теория</b>	<b>3</b>
2.1	Естественное интервальное расширение . . . . .	3
2.2	Оценка расстояния между функцией и её естественным интервальным расширением . . . . .	3
2.3	Задача глобальной оптимизации . . . . .	3
2.4	Интервальный метод отжига . . . . .	4
<b>3</b>	<b>Реализация</b>	<b>5</b>
<b>4</b>	<b>Результаты</b>	<b>5</b>
4.1	Выбор параметров метода отжига . . . . .	5
4.2	Функция МакКормика . . . . .	5
4.3	Функция Изома . . . . .	8
4.4	Функция «шестигорбый верблюд» . . . . .	10
<b>5</b>	<b>Обсуждение</b>	<b>12</b>

# 1 Постановка задачи

Необходимо реализовать интервальный метод отжига и сравнить его результаты с простейшим интервальным алгоритмом дробления для следующих функций:

- функция МакКормика

$$f(x, y) = \sin(x + y) + (x - y)^2 - 1.5x + 2.5y + 1, \quad \begin{array}{l} -1.5 \leq x \leq 4 \\ -3 \leq y \leq 4 \end{array} \quad (1)$$

- функция Изома

$$f(x, y) = -\cos(x) * \cos(y) * \exp(-(x - \pi)^2 - (y - \pi)^2), \quad \begin{array}{l} 2 \leq x \leq 4 \\ 3 \leq y \leq 5 \end{array} \quad (2)$$

- функция «шестигорбый верблюд»

$$f(x, y) = 4x^2 - 2.1x^4 + \frac{1}{3}x^6 + xy - 4y^2 + 4y^4, \quad \begin{array}{l} -3 \leq x \leq 3 \\ -2 \leq y \leq 2 \end{array} \quad (3)$$

## 2 Теория

### 2.1 Естественное интервальное расширение

Интервальное расширение элементарного функционального выражения, которое получается в результате замены его аргументов на интервалы их изменения, а арифметических операций и элементарных функций на их интервальные аналоги и расширения называется *естественным интервальным расширением*.

### 2.2 Оценка расстояния между функцией и её естественным интервальным расширением

Пусть  $f : \mathbb{R}^n \rightarrow \mathbb{R}$  является липшицевым по форме на  $\mathbf{X} \in \mathbb{IR}^n$ .

Пусть  $\mathbf{f}_{\text{nat}}$  - естественное интервальное расширение  $f$ .

Пусть  $f(\mathbf{x}) = \{f(x) \mid x \in \mathbf{x}\}$ , тогда имеет место оценка

$$\text{dist}(\mathbf{f}_{\text{nat}}, f(\mathbf{x})) \leq C \|\text{wid}(\mathbf{x})\| \quad (4)$$

для любого бруса  $\mathbf{x} \subset \mathbf{X}$  и некоторой константы  $C$ .

### 2.3 Задача глобальной оптимизации

Пусть  $f : \mathbf{X} \rightarrow \mathbb{R}$ , где  $\mathbf{X} \subseteq \mathbb{IR}^n$  - прямоугольный брус с гранями параллельными осям.

Требуется найти величину  $f^* \in \mathbb{R}$ , такую что

$$\|f^* - \inf_{x \in \mathbf{X}} f(x)\| < \varepsilon \quad (5)$$

для любого заранее заданного  $\varepsilon > 0$ .

## 2.4 Интервальный метод отжига

Алгоритм схема интервального метода обжига:

<p>Вход</p> <p>Брус <math>\mathbf{X} \in \mathbb{R}^n</math>. Начальное <math>T_0</math> и конечное <math>T_{\text{fin}}</math> значения «температуры».</p> <p>Интервальное расширение <math>\mathbf{F} : X \rightarrow \mathbb{R}^n</math>.</p>
<p>Выход</p> <p>Оценка <math>F^*</math> глобального минимума функции <math>F</math> на <math>\mathbf{X}</math>.</p>
<p>Алгоритм</p> <p>Присваиваем <math>\mathbf{Y} \leftarrow \mathbf{X}</math> и <math>T \leftarrow T_0</math>;</p> <p>Назначаем целочисленную величину <math>N_T</math> - «кол-во испытаний на один температурный уровень»;</p> <p>Вычисляем <math>\mathbf{F}(\mathbf{Y})</math> и инициализируем список <math>\mathcal{L}</math> записью <math>\{(\mathbf{Y}, \underline{\mathbf{F}(\mathbf{Y})})\}</math>;</p> <p><b>DO WHILE</b> (<math>T &gt; T_{\text{fin}}</math>)</p> <p>    <b>DO FOR</b> <math>j = 1</math> <b>TO</b> <math>N_T</math></p> <p>        Случайно выбираем из <math>\mathcal{L}</math> запись <math>\{(\mathbf{Z}, \underline{\mathbf{F}(\mathbf{Z})})\}</math> по правилу <math>\mathcal{S}(\mathbf{Y})</math></p> <p>        <b>DO</b> (с вероятностью <math>P_T(\mathbf{Y}, \mathbf{Z})</math>)</p> <p>            Рассекаем <math>\mathbf{Z}</math> по самой длинной компоненте пополам на брусы-потомки <math>\mathbf{Z}'</math> и <math>\mathbf{Z}''</math>;</p> <p>            Вычисляем <math>\mathbf{F}(\mathbf{Z}')</math> и <math>\mathbf{F}(\mathbf{Z}'')</math>;</p> <p>            Удаляем запись <math>\{(\mathbf{Z}, \underline{\mathbf{F}(\mathbf{Z})})\}</math> из списка <math>\mathcal{L}</math>;</p> <p>            Помещаем записи <math>\{(\mathbf{Z}, \underline{\mathbf{F}(\mathbf{Z}')} )\}</math> и <math>\{(\mathbf{Z}, \underline{\mathbf{F}(\mathbf{Z}'')} )\}</math> в список <math>\mathcal{L}</math>;</p> <p>            Обозначаем через <math>\{(\mathbf{Y}, \underline{\mathbf{F}(\mathbf{Y})})\}</math> ту из записей <math>\{(\mathbf{Z}, \underline{\mathbf{F}(\mathbf{Z}')} )\}</math> и <math>\{(\mathbf{Z}, \underline{\mathbf{F}(\mathbf{Z}'')} )\}</math>, которая имеет меньшее значение второго поля;</p> <p>        <b>END DO</b></p> <p>    <b>END DO</b></p> <p>    Уменьшаем значение температуры <math>T \leftarrow \alpha T</math>;</p> <p><b>END DO</b></p> <p><math>F^* \leftarrow \underline{\mathbf{F}(\mathbf{Y})}</math>;</p>

Таблица 1: Алгоритм интервального метода отжига

Вероятность дробления выбранного бруса  $\mathbf{Z}$  задаётся формулой

$$P_T(\mathbf{Y}, \mathbf{Z}) = \begin{cases} 1, & \text{если } \Delta \mathbf{F} < 0, \\ \exp(-\frac{\mathbf{F}}{kT}), & \text{если } \Delta \mathbf{F} \geq 0 \end{cases} \quad (6)$$

где  $\Delta \mathbf{F} = \mathbf{F}(\mathbf{Z}) - \mathbf{F}(\mathbf{Y})$  - приращение оценки оптимума, обеспечиваемое новым брусом приближения.

Правило  $\mathcal{S}(\mathbf{Y})$  в алгоритме (1) - это случайный выбор бруса  $\mathbf{Z}$  из рабочего списка. Оно зависит от ведущего бруса  $\mathbf{Y}$  (а также ведущей оценки) и может быть организовано самым различным образом в зависимости от наличия априорной информации о целевой функции.

## 3 Реализация

Лабораторная работа выполнена при помощи пакета Matlab с использованием библиотеки IntLab.

Ссылка на репозиторий с исходный кодом:

<https://github.com/ArsenyVelichko/IntervalAnalysis>

## 4 Результаты

### 4.1 Выбор параметров метода отжига

Важнейшим фактором в сходимости метода отжига является выбор его параметров. Часть параметров, такие как начальная и конечная температура, а также кол-во испытаний на один температурный уровень, мы будем подбирать для каждой функции отдельно. Здесь же зафиксируем правило перехода  $\mathcal{S}(\mathbf{Y})$ , а также параметр  $\alpha$  для уменьшения температуры.

В представленном выше алгоритме (1) при приближении к минимуму мы постоянно будем уменьшать радиус ведущего бруса. Пусть ведущий брус всегда храниться последним в списке, тогда чтобы не обращаться к брусам из начала списка спустя множество итераций, определим правило перехода как

$$\mathcal{S}(\mathbf{Y}) = \frac{|L \cdot N(0, \sigma^2)|}{3\sigma}, \quad \sigma = ||\text{wid}(\mathbf{Y})|| \quad (7)$$

где  $L$  - текущий размер рабочего списка, а  $N(0, \sigma^2)$  - случайная величина, имеющая нормальное распределение с центром в нуле. Таким образом  $\mathcal{S}(\mathbf{Y})$  будет отвечать у нас за смещение от ведущего бруса в рабочем в списке. Можно заметить, что таким образом мы можем выйти за границы рабочего списка, поэтому определим индекс нового бруса  $\mathbf{Z}$  как

$$I_{\mathbf{Z}} = \max(1, L - \mathcal{S}(\mathbf{Y})) \quad (8)$$

Предполагается, что индексация рабочего списка, начинается с 1.

Эмпирическим путём было выявлено, что оптимальным значением коэффициента  $\alpha$  является  $\alpha = 0.8$ , поэтому будем использовать его для всех функций.

### 4.2 Функция МакКормика

Для функции МакКормика положим  $T_0 = 10^{-2}$ ,  $T_{\text{fin}} = 10^{-16}$  и  $N_T = 25$ .

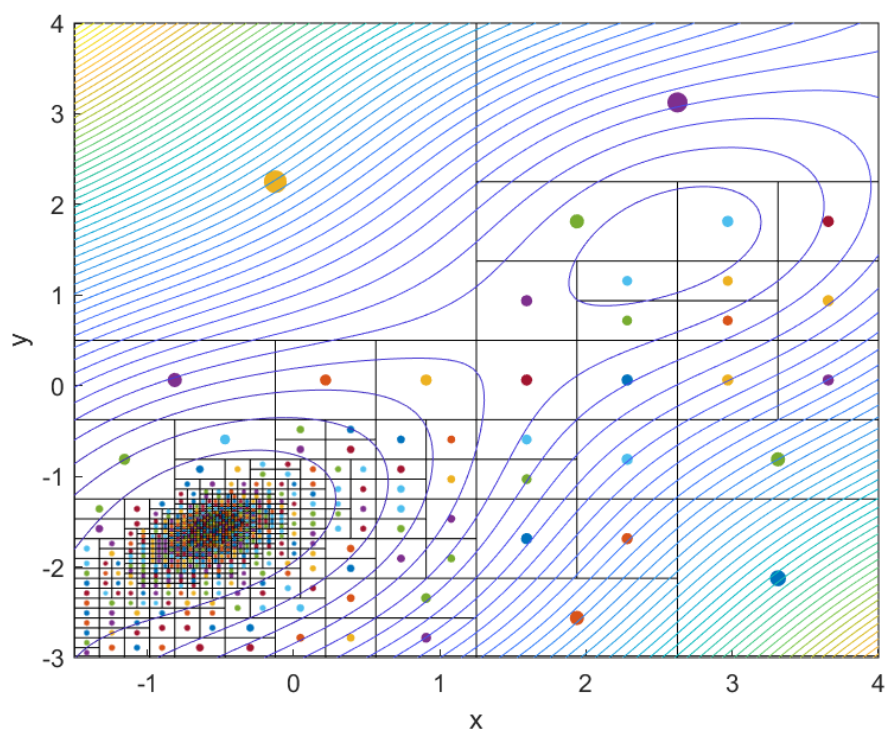


Рис. 1: Работа простейшего алгоритма дробления для функции МакКормика (1)

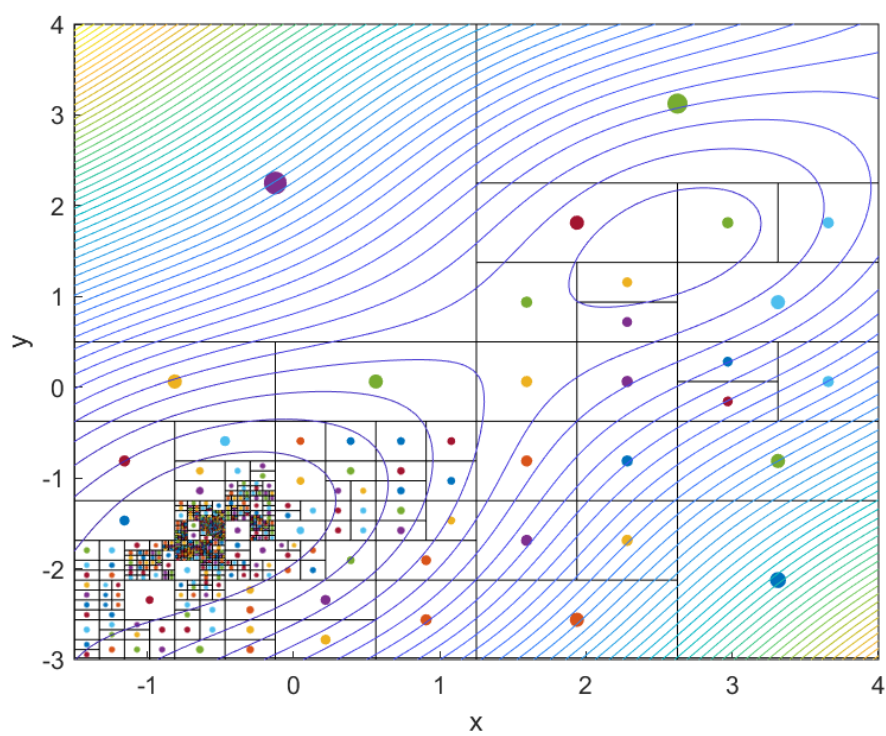


Рис. 2: Работа метода отжига для функции МакКормика (1)

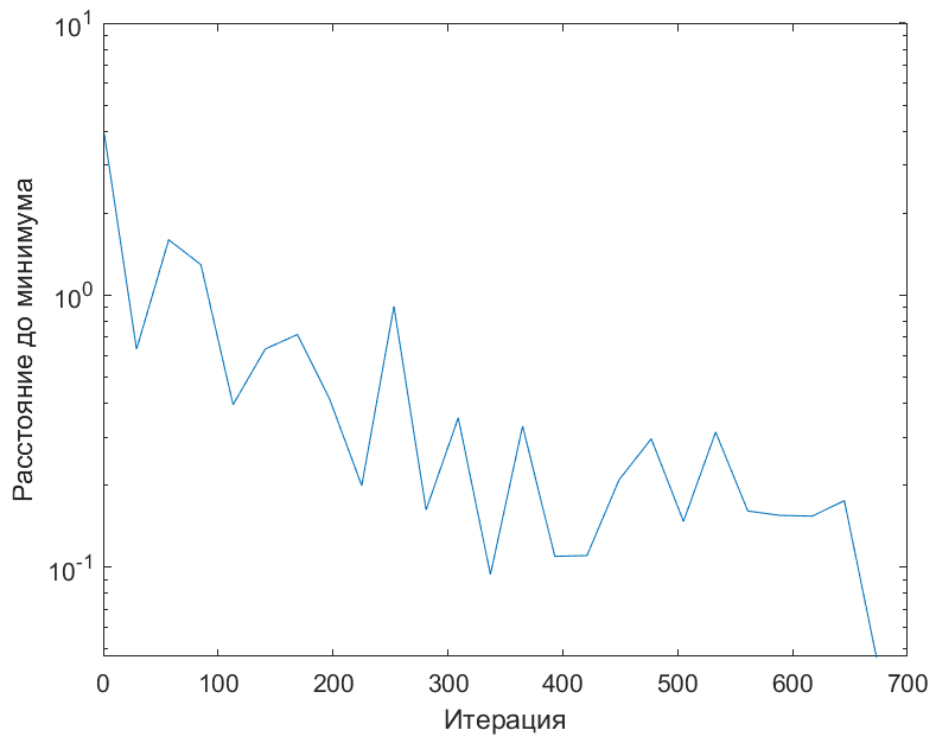


Рис. 3: Расстояния до минимума простейшего алгоритма дробления для функции МакКормика (1)

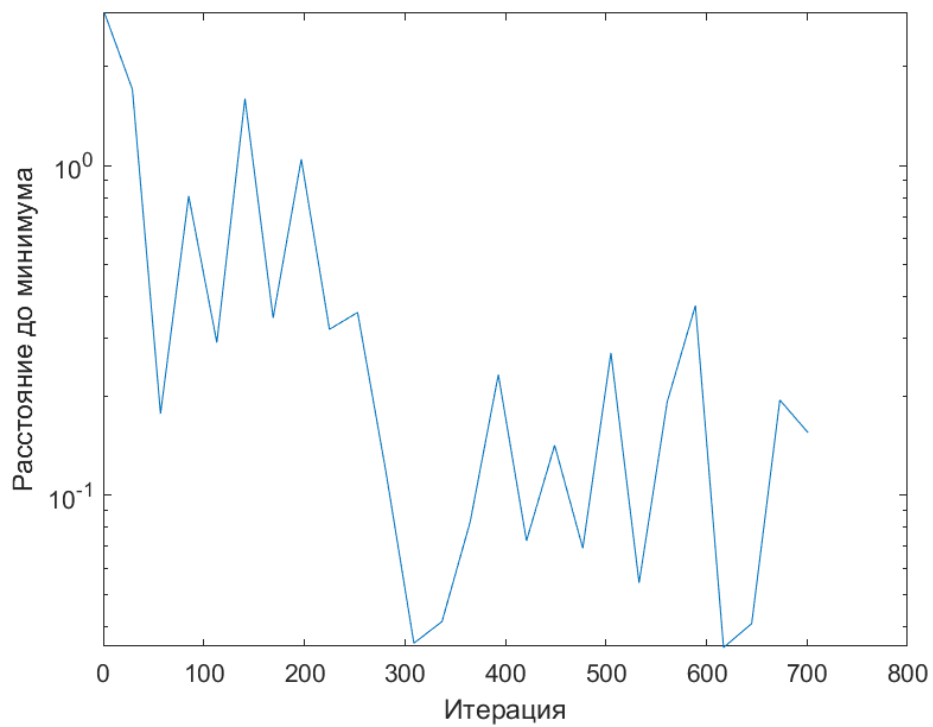


Рис. 4: Расстояния до минимума метода отжига для функции МакКормика (1)

### 4.3 Функция Изома

Для функции Изома положим  $T_0 = 10^{-3}$ ,  $T_{\text{fin}} = 10^{-10}$  и  $N_T = 10$ .

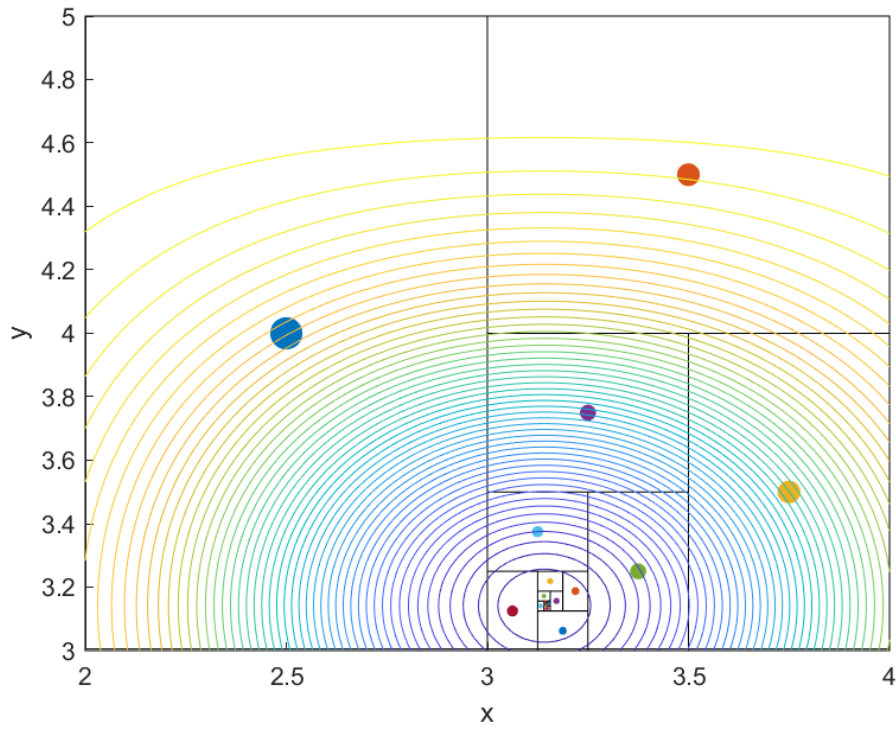


Рис. 5: Работа простейшего алгоритма дробления для функции Изома (2)

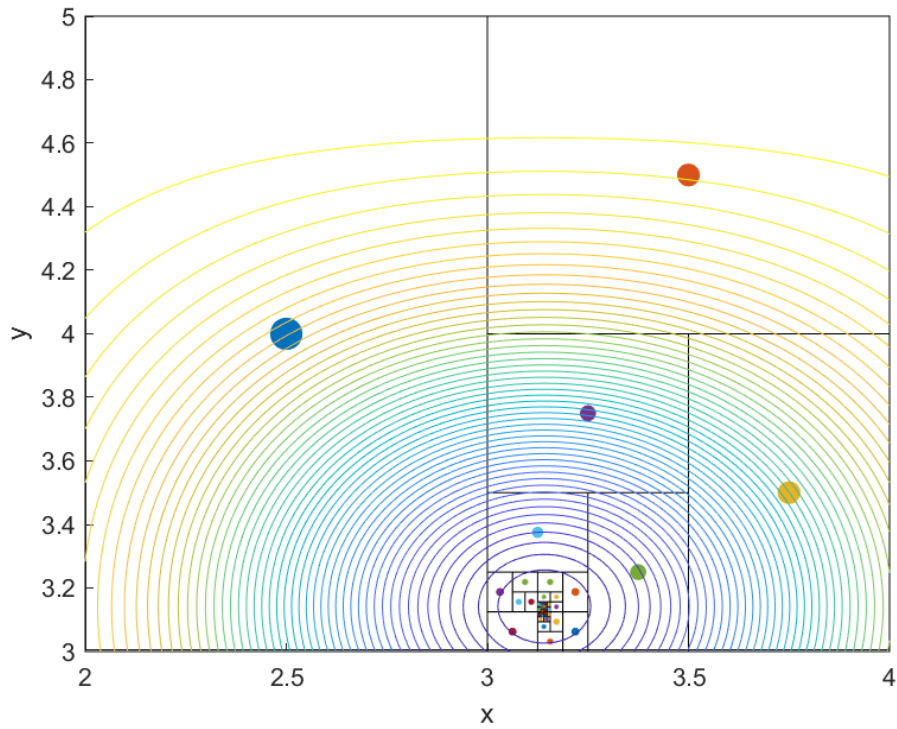


Рис. 6: Работа метода отжига для функции Изома (2)



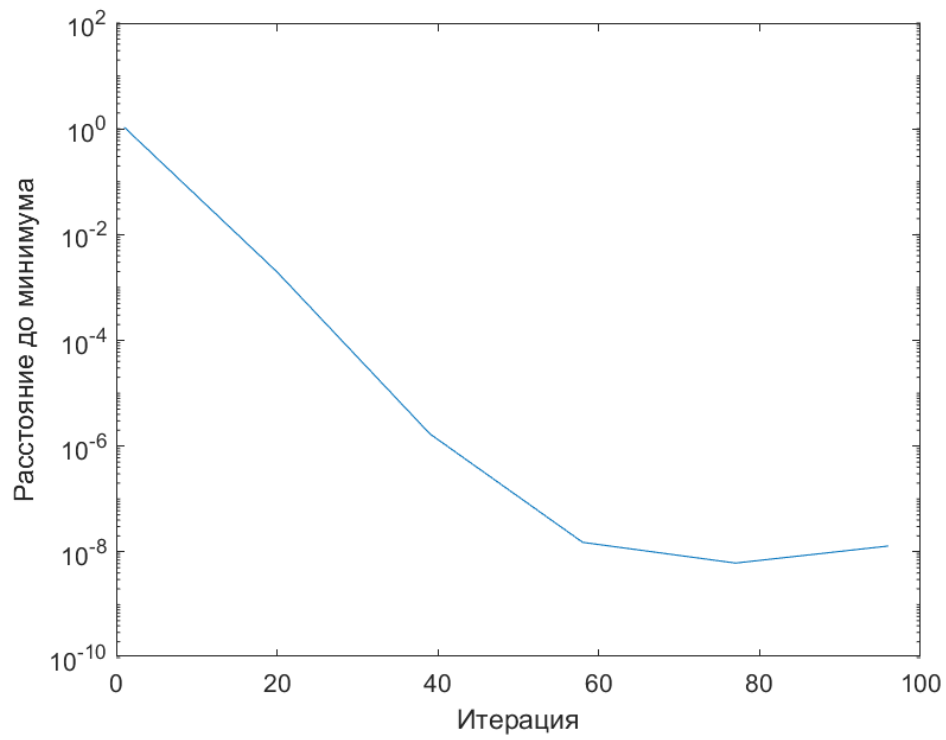


Рис. 7: Расстояния до минимума простейшего алгоритма дробления для функции Изома (2)

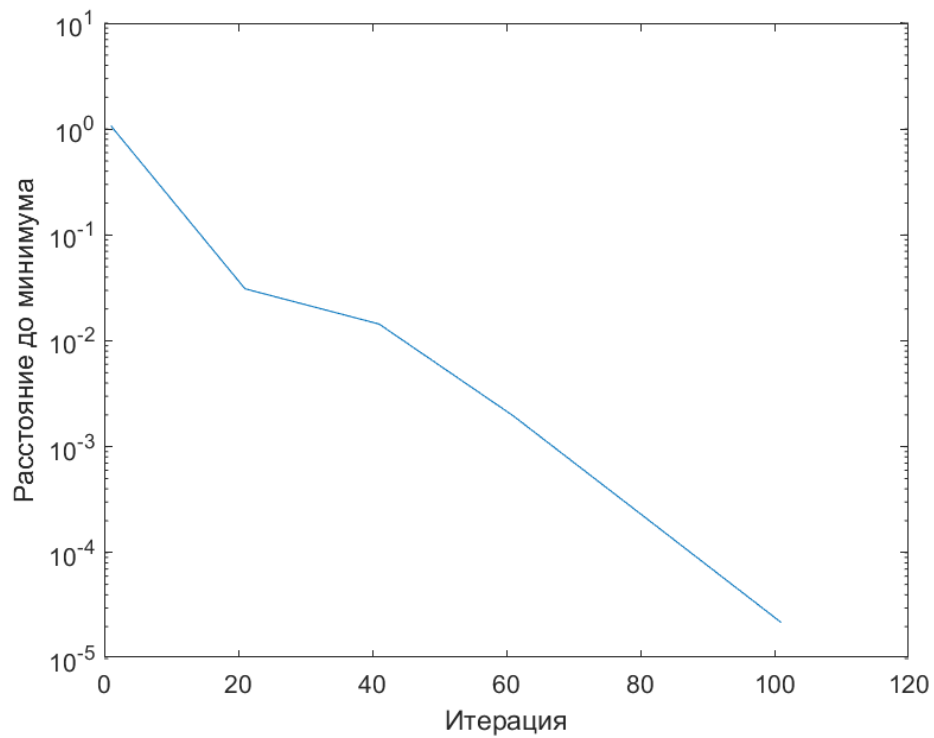


Рис. 8: Расстояния до минимума метода отжига для функции Изома (2)

#### 4.4 Функция «шестигорбый верблюд»

Для функции «шестигорбый верблюд» положим  $T_0 = 10$ ,  $T_{\text{fin}} = 10^{-32}$  и  $N_T = 500$ .

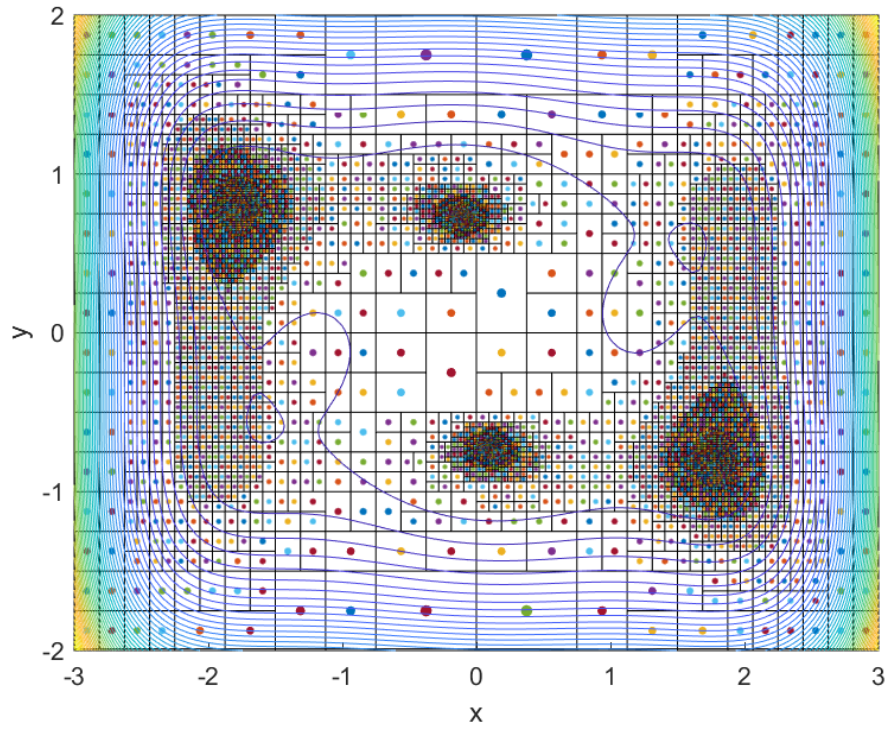


Рис. 9: Работа простейшего алгоритма дробления для функции «шестигорбый верблюд» (2)

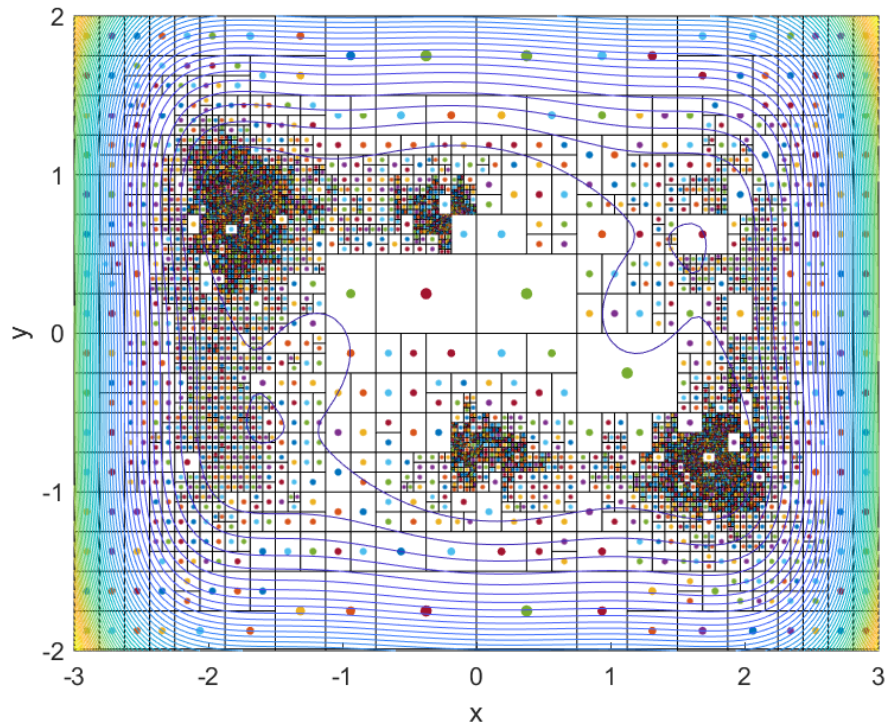


Рис. 10: Работа метода отжига для функции «шестигорбый верблюд» (2)

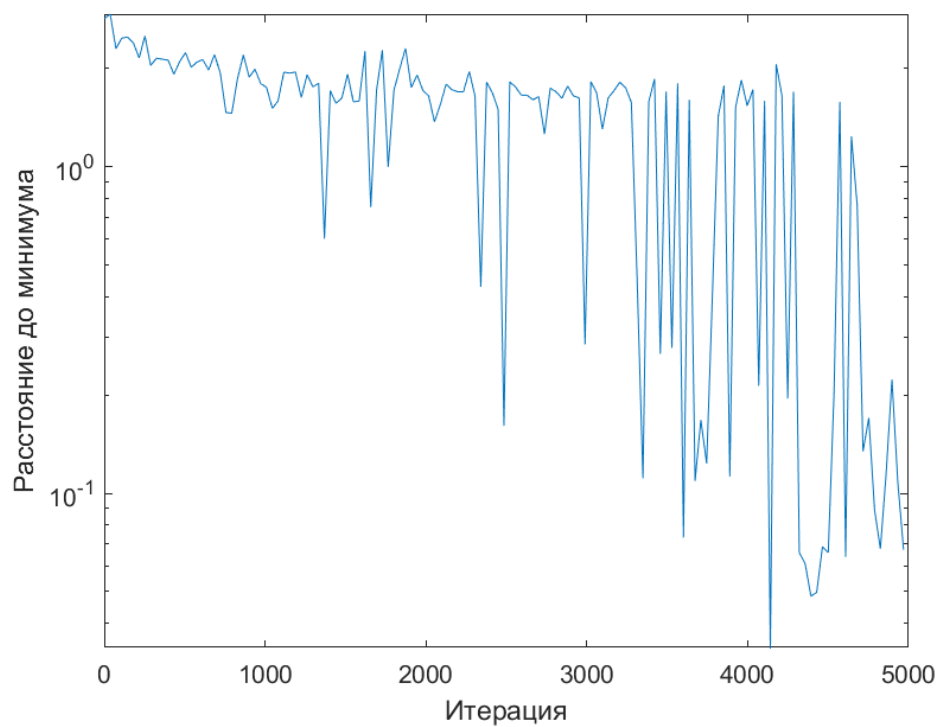


Рис. 11: Расстояния до минимума простейшего алгоритма дробления для функции «шестигорбый верблюд» (2)

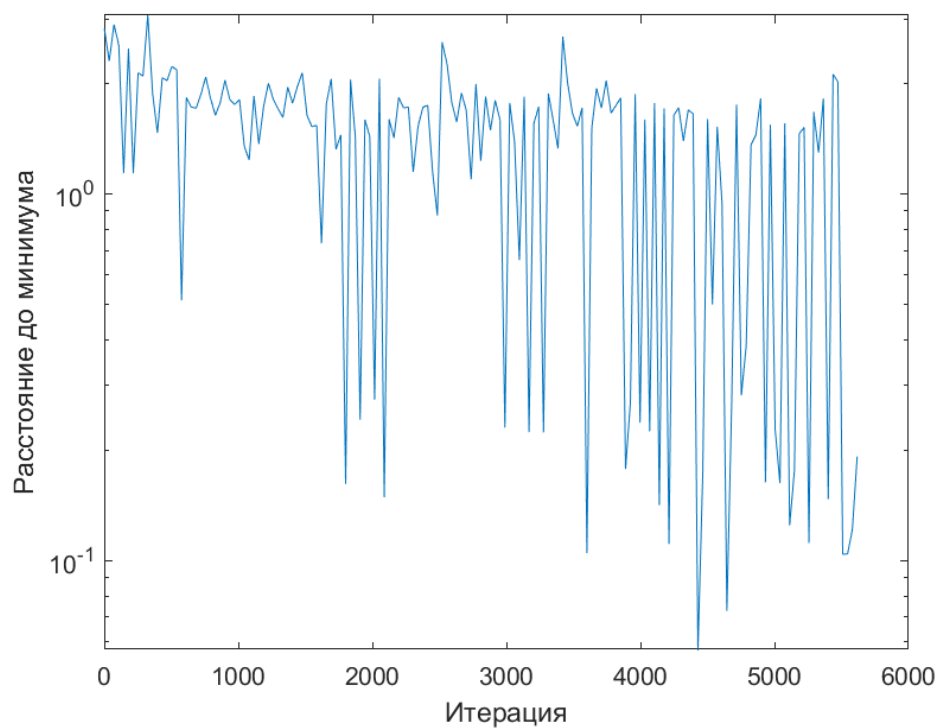


Рис. 12: Расстояния до минимума метода отжига для функции «шестигорбый верблюд» (2)

## 5 Обсуждение

1. У функции МакКормика имеется проблема в том, что вблизи минимума она убывает крайне медленно, в связи с чем тот же простейший алгоритм дробления после определённого числа итераций почти не приближает своего значения. В теории эту проблему мог бы решить метод отжига, однако мы видим, что его поведение при выбранных нами параметрах аналогично простейшему алгоритму дробления, и он также начинает «рыскать» по дну оврага вместо монотонного стремления к минимуму.  
На графике расстояния до минимума также видна одна из проблем метода отжига - он может остановить своё выполнение не в наилучшей точке рабочего списка. Причиной этого служит вероятность (6), из-за которой мы всегда имеем шанс сделать ведущим брус, чья оценка больше текущей.
2. Функция Изома является достаточно простой для оптимизации. Об этом свидетельствует и быстрая сходимость обоих методов. При этом мы видим, что простейший алгоритм дробления за 100 итераций успевает достигнуть точности порядка  $10^{-8}$ , в то время как метод отжига лишь  $10^{-4}$ . Это говорит нам о том, что метод отжига на тривиальных функциях является далеко не самым предпочтительным кандидатом.
3. Самой сложной из тестируемых функций является функция «шестигорбый верблюд». Она имеет 6 локальных минимумов, 2 из которых - глобальные. Глобальные минимумы мы наблюдаем ближе к центру, они имеют координаты  $(0.08984, -0.71266)$  и  $(-0.08984, 0.71266)$ . Ключевая трудность данной функции заключается в том, что в первую очередь находятся локальные минимумы, а для перехода к глобальным тому же простейшему алгоритму дробления требуется порядка 4000 итераций. Мы видим, что оба метода проделали порядка 5000 итераций и приблизились на примерно одно расстояние к минимуму. Можно акцентировать внимание на том, что метод отжига достиг положения, относительно близкого к глобальному минимуму, ещё на отметке в 2000 итераций, однако после всё равно предпочёл перейти к более дальнему брусу. Опять же в теории подобного поведения можно избежать более точным подбором параметров.
4. Подводя итог по трём исследованным функциям стоит сказать, что применение метода отжига имеет наибольшее обоснование в случае сложных функций с несколькими локальными минимумами. Данный метод в процессе написания данной работы проявил себя крайне нестабильным образом и подбор описанных выше параметров проводился в первую очередь эмпирическим путём, однако в конечном итоге на функции МакКормика и функции «шестигорбый верблюд» он показал результаты, соизмеримые простейшему алгоритму дробления.

## Список литературы

- [1] Шарый С.П. Рандомизированные алгоритмы в интервальной глобальной оптимизации // Сиб. журн. вычисл. мат. 2008. Т. 11, № 4. С. 457–474.
- [2] Панов Н.В. Объединение стохастических и интервальных подходов для решения задач глобальной оптимизации функций // Вычислительные технологии. 2009. Т. 14. № 5. С. 49-65
- [3] Баженов. А.Н. Лекции по интервальному анализу. СПбПУ. 2021  
<https://cloud.mail.ru/public/VSFh/gJgtFVynE>